

QUANTENTEN

EIN LEHRBUCH DER THEORETISCHEN PHYSIK

VON

PROF. DR. WILHELM MACKE

DIREKTOR DES INSTITUTS FÜR THEORETISCHE PHYSIK
AN DER TECHNISCHEN HOCHSCHULE DRESDEN

MIT 127 ABBILDUNGEN



LEIPZIG 1959

AKADEMISCHE VERLAGSGESELLSCHAFT

GEEST & PORTIG K.-G.

gewisse Schwierigkeiten. Dafür wurde Teil 3 so aufgebaut, daß zu seinem Studium das Verständnis von Teil 2 nicht unbedingt erforderlich ist. Wegen der in der Einleitung erwähnten Symmetrie der Quantentheorie gegenüber den Begriffen „Teilchen“ und „Wellen“ sollte das vorstehende Pfeilschema eigentlich „rechts-links-symmetrisch“ sein. Dies ist aber nicht der Fall, weil sich der Wellenbegriff wegen seiner starken Anschaulichkeit zur Lösung spezieller quantenmechanischer Probleme als fruchtbarer erwiesen hat.

Geschrieben wurde das Buch in erster Linie für den lernenden Theoretiker und experimentierenden Physiker, aber auch für den theoretisch interessierten Ingenieur und Techniker, der sich über Herkunft und Grundlagen der von ihm verwendeten Formeln informieren möchte. Im übrigen ist hinsichtlich der Darstellung und Übersichtlichkeit alles versucht, um das Werk auch dem Fachkollegen, der es nicht systematisch durcharbeitet, sondern an beliebiger Stelle aufschlägt, so zugängig wie möglich zu machen. Für die Darlegung des Inhalts galt der Grundsatz, lieber eine Erklärung zuviel als zuwenig zu geben. Trotzdem liegt es in der Natur des behandelten Stoffes, daß sein Inhalt nur dem aktiv mitarbeitenden Leser verständlich wird, der mit Bleistift und Papier die mathematisch formulierten Gedankengänge selbst verfolgt.

Konsequent wird in allen Gleichungen das internationale Maßsystem verwendet, aber gleichzeitig durch eine geeignete Schreibweise dafür gesorgt, daß die Gleichungen von den in der Atomtheorie gewohnten Formelbildern „optisch“ nicht abweichen. Gelegentliche Hinweise auf den Band „Wellen“ werden kurz mit „W“ bezeichnet.

Das **Manuskript** ist in langjähriger Tätigkeit des Unterzeichneten aus Vorlesungen sowie aus dem ständigen Kontakt mit dem Lernenden und seiner Kritik hervorgegangen. Bei der endgültigen Zusammenstellung des Manuskripts leistete Herr P. ZIESCHE durch wertvolle Anregungen und Kritiken in unermüdlicher Tätigkeit wichtige Hilfe, für die ihm an dieser Stelle sehr herzlich gedankt sei. Unter seiner Leitung und Verantwortung wurden auch die Korrekturen von einem Mitarbeiterkollektiv in dankenswerter Weise durchgeführt, das sich aus den Herren G. BESSNER, H. J. KAISER, W. KOLBE, R. LENK, D. NETZBAND, P. RENNERT, K. SCHMIDT und H. J. SIX zusammensetzte. Herrn B. PEGEL danke ich für die sorgfältige Anfertigung der Abbildungen. Dem Verlag sei für sein verständnisvolles Entgegenkommen gedankt, mit dem er bereitwillig auf alle Wünsche des Verfassers eingegangen ist.

Dresden, den 10. Februar 1959

WILHELM MACKE

| | |
|--|-------|
| X | |
| Einleitung | |
| 1. Vorgesichte der Quantentheorie | 1 |
| 11. Quantelung von Masse und Ladung | 1 |
| 11.1 Antike Atomtheorie | 1 |
| 11.2 Atomtheorie der Neuzeit | 2 |
| 11.3 Loschmidtsehe Zahl | 3 |
| 11.4 Elementarladung | 7 |
| 11.5 Aufbau der Materie | 9 |
| 11.6 RUTHERFORDSche Streuformel | 12 |
| 12. Quantelung der Energie | 17 |
| 12.1 Das PLANCKSche Wirkungsquantum | 17 |
| 12.2 Theorie der Hohlraumstrahlung | 18 |
| 12.3 Hypothese der Energiequanten | 20 |
| 12.4 Spezifische Wärme fester Körper nach EINSTEIN | 24 |
| 12.5 DEBYEsche Theorie der spezifischen Wärme | 26 |
| 13. Quantelung der Wellen | 31 |
| 13.1 Photoeffekt | 32 |
| 13.2 Comptoneffekt | 33 |
| 13.3 Atomspektren | 35 |
| 13.4 Atomanregung durch Elektronenstoß | 37 |
| 14. Quantelung des Phaserraums | 39 |
| 14.1 Oszillator im Phaserraum | 39 |
| 14.2 Verallgemeinerte Quantenbedingungen von BOHR und SOMMERFELD | 41 |
| 14.3 Das BOHRsche Wasserstoffatom | 44 |
| 15. Ausblick auf die neuere Theorie | 47 |
| 15.1 Versagen der älteren Quantentheorie | 47 |
| 15.2 Die neuere Quantentheorie | 48 |
| 15.3 Grenzen der Anwendbarkeit | 51 |
| 2. Teilchenquantelung | 52 |
| 21. Zusammenfassung der Teilchentheorie | 53 |
| 21.1 Darstellung atomarer Teilchensysteme | 53 |
| 21.2 Erhaltungssätze | 54 |
| 21.3 Der LAGRANGEsche Formalismus | 57 |
| 21.4 Kanonische Bewegungsgleichungen | 60 |
| 21.5 Invarianzeigenschaften und Erhaltungsrößen | 62 |

| | |
|---|-----|
| 22. Die HEISENBERGSCHE Matrixmechanik | 66 |
| 221 Uniquantelle theoretische Strahlung des Elektrons | 67 |
| 222 Beobachtete Strahlung des Elektrons | 69 |
| 223 HEISENBERGSCHE Matrizen | 71 |
| 224 Das BOHRSCHE Korrespondenzprinzip | 73 |
| 23. Vollständige Quantentheorie mechanischer Systeme | 76 |
| 231 Rechnen mit Matrizen | 77 |
| 232 Energievertauschungen | 82 |
| 233 Kanonische Vertauschungen | 84 |
| 24. Quantelung des harmonischen Oszillators | 88 |
| 241 Anwendung der Quantenbedingungen | 89 |
| 242 Lösung der Bewegungsgleichungen | 90 |
| 243 Berechnung der meßbaren Größen | 91 |
| 244 Physikalische Bedeutung der Matrizen | 93 |
| 245 Die HEISENBERGSCHE Unbestimmtheitsrelation | 97 |
| 3. Wellenquantelung | 100 |
| 31. Materiewellen | 101 |
| 311 De BROGLIESCHE Materiewellen | 102 |
| 312 SCHRODINGERSCHE Materiewellen | 105 |
| 313 Erhaltungsgrößen der Wellentheorie | 107 |
| 314 Schwerpunktbewegung | 112 |
| 315 Vergleich mit der Erfahrung | 113 |
| 316* Allgemeines Schema der Wellenquantelung | 116 |
| 317* Übergang zur klassischen Theorie (Elektronenoptik und WKB-Methode) | 120 |
| 32. Eindimensionale Bewegung eines freien Teilchens | 123 |
| 321 Wellenpaket als Lösung | 123 |
| 322 Ortsverteilung und Zeitablauf | 127 |
| 323 Gaußkurve als Spektralverteilung | 130 |
| 324 Stoß eines Wellenpakets | 131 |
| 33. Eindimensionale Bewegung eines gebundenen Teilchens | 135 |
| 331 Teilchen im begrenzten Volumen | 135 |
| 332 Verhalten der Wellenfunktion | 136 |
| 333 Gesamtheit der gebundenen Zustände | 140 |
| 334 Die HEISENBERGSCHE Unbestimmtheitsrelation | 144 |
| 335* Quasistationäre Zustände | 147 |
| 336* Unbestimmtheit von Energie und Zeit | 153 |
| 34. Zusammenhang mit der Matrixmechanik | 157 |
| 341 Wellenmechanische Behandlung des Oszillators | 157 |
| 342 Vergleich mit der Matrixmechanik | 161 |
| 343 Allgemeine Ableitung der Matrixmechanik | 164 |
| 344 Schrödinger-Gleichung für mehrere Teilchen | 166 |
| 4. Gebundene Zustände | 168 |
| 41. Die SCHRODINGERGLEICHUNG und ihre Eigenschaften | 169 |
| 411 Grundgleichungen | 169 |
| 412 Erhaltungsgrößen | 173 |
| 413 Symmetrieeigenschaften | 176 |
| 414 Minimaleigenschaften der Energie | 178 |
| 42. Näherungsverfahren | 181 |
| 421 Das Ritzsche Variationsverfahren | 181 |
| 422 Abschätzungen mit der Unbestimmtheitsrelation | 183 |
| 423 SCHRODINGERSCHE Störungsrechnung | 186 |
| 424* Störungsrechnung bei Entartung | 189 |
| 43. Eigenzustände des Drehimpulses | 191 |
| 431 Separation der SCHRODINGERGLEICHUNG | 191 |
| 432 Behandlung der Drehimpulse | 195 |
| 433 LEGENDRESCHE Polynome | 198 |
| 44. Das Elektron im kugelsymmetrischen Potential | 202 |
| 441 Der Radialteil | 203 |
| 442 Wechselwirkung mit Strahlung | 206 |
| 443 Das Wasserstoffatom | 209 |
| 444 Der dreidimensionale Oszillator | 213 |
| 45. Das Elektron im elektromagnetischen Feld | 215 |
| 451 Das Elektron im Vierpotential | 215 |
| 452* Paramagnetismus und Diamagnetismus | 218 |
| 453 Der Elektronenspin | 223 |
| 454 Die σ -Matrizen | 226 |
| 455 Der ZEEMAN-Effekt | 229 |
| 456* Feinstruktur des Wasserstoffs | 231 |
| 457 Gesamtspin zweier Elektronen | 234 |
| 5. Aufbau der Atome und Moleküle | 237 |
| 51. Aufbau der Atomhülle | 238 |
| 511 Periodische Atomeigenschaften | 239 |
| 512 PAULI-Prinzip und Schalenstruktur | 241 |
| 513 RÖNTGENSPEKTREN | 244 |
| 514 Alkalispektren | 246 |
| 515 Das SLATERSCHE Atommodell | 249 |
| 516 Das HARTREESCHE Näherungsverfahren | 251 |
| 52. Wechselwirkung mehrerer Elektronen | 255 |
| 521 Grundzustand des Heliums | 255 |
| 522 Berechnung des Grundzustands | 257 |
| 523 Termschema des Heliums | 260 |
| 524 Elektronenspin und PAULI-Prinzip | 264 |
| 525 Das HARTREESCHE Näherungsverfahren | 267 |
| 53. Systeme mit großer Teilchenzahl | 270 |
| 531 Das FERMGAS | 271 |
| 532 Das statistische Atommodell | 273 |
| 533 Austauschenergie und gemischte Dichte | 278 |

| | |
|--|-----|
| <i>54. Chemische Bindung</i> | 281 |
| 541 Übersicht | 282 |
| 542 Metallische Bindung | 285 |
| 543 Bändertheorie der Metalle | 287 |
| 544 Das Wasserstoffmolekülion | 290 |
| 545 Das zweiatomige Molekül | 293 |
| 546 Das Wasserstoffmolekül nach HEITLER und LONDON | 295 |
| 6. Streu- und Stoßprobleme | 299 |
| <i>61. Eindimensionale Streuprobleme</i> | 299 |
| 611 Stoß eines Wellenpakets | 300 |
| 612 Streuung am Potentialwall | 301 |
| 613 Streuung am δ -Potential | 304 |
| 614 Komplexes Potential | 305 |
| <i>62. Näherungsverfahren</i> | 306 |
| 621 Integralgleichung der Streuung | 307 |
| 622 Bornsche Näherung | 310 |
| 623 WKB-Methode und Tunneleffekt | 313 |
| 624 Berechnung des Reflexionskoeffizienten durch Variation | 315 |
| <i>63. Das dreidimensionale Streuproblem</i> | 317 |
| 631 Streuung an einem Störzentrum | 317 |
| 632 Der totale Wirkungsquerschnitt | 321 |
| 633 Dreidimensionale Integralgleichung | 324 |
| 634 Bornsche Näherung | 325 |
| 635 Anwendungen der Bornschen Näherung | 326 |
| <i>64. Elastische Streuung und Entwicklung nach Drehimpulsen</i> | 330 |
| 641 Eigenzustände des Drehimpulses | 331 |
| 642 Strenplitude und Wirkungsquerschnitte | 334 |
| 643 Potentiale mit begrenzter Reichweite | 338 |
| 644 Genäherte Berechnung der Streuphasen δ_l | 341 |
| 645 Das SCHWINGERSCHE Variationsverfahren | 344 |
| <i>65*. Niederelastische Stoßprozesse</i> | 345 |
| 651 Allgemeiner Stoßprozeß | 346 |
| 652 Quantenmechanische Beschreibung | 347 |
| 653 Verallgemeinerte Bornsche Näherung | 350 |
| 654 Resonanz | 353 |
| Lösungen zu den Übungsaufgaben | 456 |
| Verzeichnis der verwendeten Formelzeichen | 487 |
| Sach- und Namensverzeichnis | 489 |
| 7. Darstellung der Quantentheorie im HILBERTRAUM | 355 |
| <i>71. Darstellung physikalischer Größen</i> | 356 |
| 711 Quantelung physikalischer Systeme | 357 |
| 712 Geometrische Bedeutung der Matrizen und ihrer Eigenwerte | 359 |
| 713 Der N -dimensionale Vektorraum | 364 |
| 714 Die Metrik eines Vektorraums | 367 |
| 715 Orthogonalsysteme im Vektorraum | 369 |
| 716 Operatoren im HILBERTRAUM | 371 |
| 717 Operatordarstellung physikalischer Größen | 375 |

| | |
|---|-----|
| <i>72. Der physikalische Anfangszustand</i> | 377 |
| 721 Eigenwerte einer Observablen | 378 |
| 722 Beziehungen zwischen vertauschbaren Observablen | 381 |
| 723 Unvertauschbare Observablen | 384 |
| 724 Konstruktion von Zustandsvektoren | 387 |
| 725 Die Zustandsvektoren von Ort und Impuls | 391 |
| <i>73. Zeitlauf eines physikalischen Systems</i> | 397 |
| 731 Transformation der Zeithängigkeit | 398 |
| 732 Die SCHRÖDINGER-Gleichung | 401 |
| 733 DIRACsche Störungsrechnung | 405 |
| 734 SCHRÖDINGERSche Störungsrechnung | 411 |
| <i>74. Wellenquantelung</i> | 415 |
| 741 Klassische Materiewellen | 415 |
| 742 Quantelung der Wellentheorie | 419 |
| 743 Orthogonalsystem der Ortszustände | 421 |
| 744 Operatorenanwendung auf Ortszustände | 426 |
| 745 Spin und Statistik der Elektronen | 430 |
| 746 Das Einteilchenproblem | 432 |
| 747 Äquivalenz von Teilchen und Wellen | 435 |
| 748 Selbstwechselwirkung von Elektronenwellen | 438 |
| <i>75. Invarianz des HAMILTON-Operators</i> | 440 |
| 751 Invarianzeigenschaften und Erhaltungsgrößen | 440 |
| 752 Translationen der Zeit | 443 |
| 753 Eindimensionale Translationen des Orts | 446 |
| 754 Die dreidimensionale Translationsgruppe | 449 |
| 755 Die dreidimensionale Drehgruppe | 452 |
| Lösungen zu den Übungsaufgaben | 456 |
| Verzeichnis der verwendeten Formelzeichen | 487 |
| Literaturhinweise für weiterführende Studien | 494 |
| Naturkonstanten. Atomare Einheiten | 495 |

dynamik ist $\vec{\mu}_P$ das Produkt aus Strom und umlaufener Fläche, die im gedrehten Koordinatensystem durch

$$\begin{aligned}\vec{\mu}_P &= I \vec{F} = \frac{e}{\tau} \int \frac{1}{2} \vec{r} \times d\vec{r} = \frac{e}{\tau} \int \frac{1}{2} (\vec{r} \times \dot{\vec{r}}) dt \\ &= \frac{e}{2} \frac{\vec{r} \times \vec{\omega}^r}{m} = \frac{e}{2m} \vec{r} \times \vec{p} = \frac{e}{2m} \vec{l}\end{aligned}\quad (17)$$

beschrieben wird und zum Drehimpuls \vec{l} unmittelbar proportional ist.

Die durch die Zusatzrotation ω entstehenden Besonderheiten enthält der Term (15), der insbesondere dann eine Rolle spielt, wenn (14) verschwindet, wenn also beim Atom zum Beispiel der resultierende Gesamt-drehimpuls der Elektronen verschwindet. μ_D ist das **diamagnetische Moment**, das erst beim Anlegen eines äußeren Feldes \mathfrak{B} induziert wird. Liegt das Magnetfeld in Richtung der z -Achse, so gilt

$$\mu_D = -\frac{e^2}{4m|\mathfrak{B}|} \frac{(\vec{r} \times \mathfrak{B})^r}{(\vec{r} \times \mathfrak{B})^r} = -\frac{e^2}{4m} |\mathfrak{B}| \frac{x^2 + y^2}{x^2 + y^2}, \quad (18)$$

woraus bei rotationssymmetrischer Ladungsverteilung

$$\mu_D = -\frac{e^2 \mathfrak{B}}{6m} \sum_i \overline{r}_i^2 \quad (19)$$

wird. In der Quantenmechanik sind die Bahnmittel über das i -te Teilchen durch die entsprechenden quantenmechanischen Erwartungswerte zu ersetzen.

Bei der **quantenmechanischen Behandlung** des Problems geht E aus (12) zunächst in den **HAMILTONOPERATOR** (45.16) über. Im Vergleich zwischen jener Formel und (12) enthalten die ersten beiden Terme die Energie im gedrehten System. In diesem gedrehten System ist der Drehimpuls \vec{l} wegen (11) eine Erhaltungsgröße, denn er rotiert mit der gleichen Geschwindigkeit um die Drehachse wie das Koordinatensystem selbst, jedenfalls in der Näherung $\omega^2 \approx 0$. Betrachtet man also die ersten beiden Terme von (12) als ungestörten HAMILTONOPERATOR und behandelt den Einfluß der übrigen beiden als kleine Störung, so beeinflußt der paramagnetische, gemäß (14) nur von L_z abhängige Anteil die Wellenfunktion nicht. Eine Beeinflussung der Wellenfunktion findet erst bei Berücksichtigung des diamagnetischen Anteils (15) statt, die aber hinsichtlich ω von zweiter Ordnung ist und daher zu Abweichungen in der Energie bei der Entwicklung des Störungsverfahrens erst in vierter Ordnung führt. Es ist daher bis einschließlich zu Gliedern mit ω^2 korrekt, die Energie eines solchen Systems so zu berechnen, daß man die ersten beiden Terme von (12) bzw. von (45.16) allein zum Aufsuchen der Wellenfunktion benutzt und mit dieser Wellenfunktion die Erwartungswerte der übrigen beiden Terme hinzufügt.

453 Der Elektronenspin

Stern und Gerlach erhielten bei Versuchen über die magnetischen Eigenschaften des Elektrons Ergebnisse, die sich im Rahmen der bislang entwickelten Vorstellungen über den Einfluß von Magnetfeldern auf Elektronen nicht ohne weiteres verstehen lassen. Ein Atomstrahl wird, wie das Abb. 453 schematisch zeigt, durch ein inhomogenes Magnetfeld \mathfrak{B} geführt, in dem die magnetischen Momente $\vec{\mu}$ der einzelnen Atome die Wechselwirkungsenergie

$$E = -\vec{\mu} \cdot \mathfrak{B} \quad (1)$$

besitzen. Diese magnetischen Momente werden praktisch durch die Elektronen allein bestimmt, da die Momente der einige tausendmal schwereren Kerne wegen $\mu \sim 1/m$ in diesem Zusammenhang vernachlässigt werden können. Speziell beim Wasserstoffatom ist $\vec{\mu}$ gleich dem magnetischen Moment des Wasserstoffelektrons.

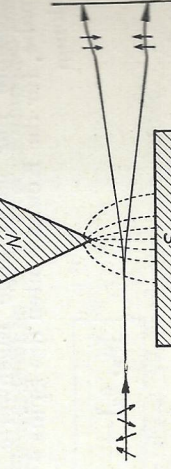


Abb. 453. STERN-GERLACH-Versuch. Aufspaltung eines Atomstrahls im inhomogenen Magnetfeld. Die Pfeile längs des Atomstrahls charakterisieren die magnetischen Momente der einzelnen Atome

Während ein homogenes Magnetfeld auf einen magnetischen Dipol keine Kraft, sondern lediglich ein Drehmoment ausübt, wirkt auf den Dipol im inhomogenen Felde \mathfrak{B} eine Kraft, und zwar je nach der Richtung von $\vec{\mu}$ in Richtung zunehmender Feldstärke oder entgegengesetzt. Die einzelnen Elektronen des Atomstrahls besitzen je nach ihrem Drehimpulszustand, der die Werte $l = 0, 1, 2, \dots$ aufweisen kann, verschiedene Orientierungsmöglichkeiten in Richtung der Feldstärke, wobei ihre Wechselwirkungsenergie im Felde die Werte

$$E = -\frac{e\hbar}{2m} m_l B \quad (2)$$

annimmt. m_l wird daher auch als magnetische Quantenzahl bezeichnet und kann im Drehimpulszustand l genau $2l+1$ Werte annehmen. Entsprechend sollte ein Strahl neutraler Wasserstoffatome beim STERN-GERLACH-Versuch in $2l+1$ Komponenten aufgespalten werden.

Der Grundzustand des Elektrons im Wasserstoffatom hat den Drehimpuls $l = 0$. Trotzdem wird beim Versuch der Abb. 453 eine Aufspaltung in zwei Linien beobachtet, die sich nur so deutet läßt, daß das Elektron des einzelnen Wasserstoffatoms neben seinem Bahndrehimpuls \vec{l} noch einen als

Spin bezeichneten **Eigendrehimpuls** \hat{s} besitzen muß mit den Werten (gemessen in Einheiten \hbar)

$$m_s = \pm s \quad s = \frac{1}{2}. \quad (3)$$

Nur für $s = 1/2$ nämlich entstehen gerade zwei Orientierungsmöglichkeiten, die den Atomstrahl in die beobachteten zwei Komponenten aufspalten.

Der Zusammenhang zwischen dem Operator des Bahndrehimpulses und seinen Eigenwerten wurde in Abschnitt 432 allgemein aus den Ver- tauschungsrelationen

$$[\mathbf{l}_x, \mathbf{l}_y] = -\frac{\hbar}{i} \mathbf{l}_z \quad (4)$$

für die Drehimpulskomponenten abgeleitet. Sie ließen für die Eigenwerte l und m ganze und halbe Zahlen zu. Lediglich die spezielle Form $\mathbf{l} = \mathbf{r} \times \mathbf{p}$ erlaubte nur ganzzahlige Eigenwerte für die Quantenzahl l . Es liegt nahe, für die Komponenten des Spins $\hat{s} = e_x \hat{s}_x + e_y \hat{s}_y + e_z \hat{s}_z$ analoge Relationen

$$[\hat{s}_x, \hat{s}_y] = -\frac{\hbar}{i} \hat{s}_z \quad (5)$$

zu fordern. Die Überlegungen von Abschnitt 432 sind dann auch für den Spindrehimpuls gültig, und die beobachteten Spinwerte $m_s = \pm 1/2$ stehen mit den dort als zulässig erkannten Drehimpulseigenwerten für $s = 1/2$ in Einklang.

Eine genaue Untersuchung der Aufspaltung bei bekannter magnetischer Feldverteilung gestattet eine quantitative Bestimmung der magnetischen Momente. Speziell beim Wasserstoffstrahl entspricht die Aufspaltung im Magnetfeld B der Wechselwirkungsenergie

$$\bullet \quad E = \pm \frac{e\hbar}{2m} B. \quad (6)$$

Daraus folgt mit $g_s = 2$ der Ausdruck

$$\overrightarrow{\mu}_s \equiv \frac{e}{2m} g_s \hat{s} \quad \hat{s}_z = \hbar m_s \quad m_s = \pm \frac{1}{2} \quad (7)$$

für das magnetische Spinnmoment. Der Vergleich von (7) und (1) zeigt, daß beim Spin das Verhältnis von magnetischem Moment zu zugehörigem Drehimpuls doppelt so groß ist wie beim Bahnmoment. Dieses Verhältnis wird in dimensionsloser Form durch die in (7) eingeführte Größe g beschrieben, die als **gyromagnetischer Faktor** bezeichnet wird. Beim Bahndrehimpuls ist $g = 1$, wie aus der klassischen Elektronentheorie und auch aus der SCHRODINGERschen Wellengleichung im Magnetfeld abgeleitet

wurde. Der Wert $g_s = 2$ für den Elektronenspin ergibt sich nicht aus dieser Theorie, sondern muß ihr als experimentelle Erfahrung hinzugefügt werden. Erst die relativistische DIRACsche Theorie des Elektrons liefert diesen Wert von g_s automatisch. Die Quantenelektrodynamik schließlich hat gezeigt, daß der Wert 2 nicht genau gilt, sondern durch eine Potenzreihe ersetzt werden muß:

$$g_s = 1 \quad g_s = 2 \left[1 + \frac{\alpha}{2\pi} - \frac{2,973}{\pi^2} \alpha^2 + \dots \right]. \quad (8)$$

Hierbei ist $\alpha \equiv e^2/\hbar c = 1/137,04$ die sogenannte SOMMERRFELDSche Feinstrukturkonstante. Das Glied mit α^2 ist noch umstritten.

Eine vollständige Beschreibung des Elektrons im magnetischen Feld erfordert demnach noch die Berücksichtigung des Elektronenspins, der formal wie folgt eingeführt werden kann: Die zwei Zustände $m_s = \pm 1/2$ werden durch verschiedene **Wellenfunktionen mit zwei Komponenten** beschrieben:

$$\psi_+ = \begin{pmatrix} u \\ 0 \end{pmatrix}, \quad \psi_- = \begin{pmatrix} 0 \\ v \end{pmatrix}. \quad (9)$$

Die Normierungsbedingungen für diese Wellenfunktionen lauten

$$\int d\mathbf{r} \psi_+^\dagger \psi_+ = \int d\mathbf{r} (u^* 0) \begin{pmatrix} u \\ 0 \end{pmatrix} = \int d\mathbf{r} |u|^2 = 1 \quad (10)$$

$$\int d\mathbf{r} \psi_-^\dagger \psi_- = \int d\mathbf{r} (0 v^*) \begin{pmatrix} 0 \\ v \end{pmatrix} = \int d\mathbf{r} |v|^2 = 1.$$

Hier ist also ψ^\dagger aus ψ durch Spiegelung und Übergang zum Konjugiert-Komplexen entstanden, und zur Integrationsvorschrift tritt noch die Matrixmultiplikation zwischen der einzeiligen Matrix ψ^\dagger und der einspalorigen Matrix ψ hinzu. Eine etwas andere Beschreibungsform für diese Wellenfunktionen lautet:

$$\psi_\pm = \chi_\pm \varphi_\pm \quad \varphi_+ = u \quad \varphi_- = v \quad (11)$$

$$\chi_+ = \begin{pmatrix} 1 \\ 0 \end{pmatrix} \quad \chi_- = \begin{pmatrix} 0 \\ 1 \end{pmatrix}$$

Dabei stellen die Funktionen φ den Ortsanteil dar, und die Funktionen χ_+ und χ_- sind die sogenannten Spinfunktionen.

Der **Operator** \hat{s} des **Elektronenspins** sowie sein zugehöriges Moment $\overrightarrow{\mu}_s$ werden zunächst durch

$$\hat{s} = -\frac{\hbar}{2} \vec{\sigma} \quad (12)$$

mit einem dimensionslosen Operator $\vec{\sigma}$ dargestellt, dessen Komponenten unter der Voraussetzung (9) Matrizen sind. Wenn nämlich die beiden in (9)

eingeführten Funktionen ψ_+ und ψ_- Eigenfunktionen der z -Komponente σ_z des Drehimpulses sein sollen, so muß

$$\sigma_z \psi_{\pm} = \pm \psi_{\pm} \quad (13)$$

gelten. Diese Eigenschaften (13) von ψ_{\pm} sind unabhängig vom Ortsverlauf q_{\pm} und werden von den Spinfunktionen allein in der Form

$$\sigma_z \chi_{\pm} = \pm \chi_{\pm} \quad (14)$$

erfüllt, was nur möglich ist, wenn σ_z die Matrixform

$$\sigma_z = \begin{pmatrix} 1 & 0 \\ 0 & -1 \end{pmatrix} \quad (15)$$

besitzt. Man überzeugt sich von der Richtigkeit der Gleichungen (14) und (15) durch Ausmultiplikation der Matrizen:

$$\begin{pmatrix} 1 & 0 \\ 0 & -1 \end{pmatrix} \begin{pmatrix} 1 \\ 0 \end{pmatrix} = \begin{pmatrix} 1 \\ 0 \end{pmatrix} \quad (16)$$

$$\begin{pmatrix} 1 & 0 \\ 0 & -1 \end{pmatrix} \begin{pmatrix} 0 \\ 1 \end{pmatrix} = \begin{pmatrix} 0 \\ -1 \end{pmatrix} = - \begin{pmatrix} 0 \\ 1 \end{pmatrix}. \quad (17)$$

Die Gültigkeit von (13) ist aber notwendig, wenn gemäß (3) $m_s = \pm 1/2$ werden soll. Eine vollständige Untersuchung dieser σ -Matrizen erfolgt im nächsten Abschnitt.

Die Funktionen χ_+ und χ_- und mit ihnen auch ψ_+ und ψ_- sind normiert und zueinander orthogonal, denn es gilt

$$\chi_+^\dagger \chi_+ = (1 \ 0) \begin{pmatrix} 1 \\ 0 \end{pmatrix} = 1 \quad (18)$$

$$\chi_-^\dagger \chi_- = (0 \ 1) \begin{pmatrix} 0 \\ 1 \end{pmatrix} = 1 \quad (19)$$

Demnach gilt auch bei diesen erweiterten Eigenfunktionen der von (33.2) her bekannte Satz, daß Eigenfunktionen zu verschiedenen Eigenwerten, hier nämlich des Operators $\vec{\sigma}$, zueinander orthogonal sind.

454 Die σ -Matrizen

In (453.12) ist ein aus drei Matrizen bestehender Vektor $\vec{\sigma}$ eingeführt, dessen Eigenschaften nunmehr genau untersucht werden müssen. Infolge der Definitionsgleichungen (mit $g_s = 2$)

$$\boxed{\hat{s} = \frac{\hbar}{2} \vec{\sigma} \quad \hat{\mu}_s = \frac{e\hbar}{2m} \vec{\sigma}} \quad (1)$$

und weil für die z -Komponente $\hat{s}_z = \hbar m_s = \pm \hbar/2$ gelten muß, kann σ_z nur die Eigenwerte $+1$ und -1 besitzen, und es gilt $\sigma_z^2 = 1$. Da ferner alle

Raumrichtungen prinzipiell gleichwertig sind, muß auch $\sigma_x^2 = 1$ und $\sigma_y^2 = 1$ gelten, zusammengefaßt also

$$\sigma_x^2 = \sigma_y^2 = \sigma_z^2 = 1. \quad (2)$$

Jede der Komponenten von $\vec{\sigma}$ muß hermitisch sein, also muß $\vec{\sigma}^*$ die Bedingung

$$\vec{\sigma}^* = \vec{\sigma} \quad (3)$$

erfüllen. Dabei wird unter der hermitisch konjugierten Matrix $\vec{\sigma}^*$ die in Abschnitt 231 eingeführte Matrix verstanden, die aus $\vec{\sigma}$ hervorgeht durch Spiegelung an der Diagonalen und Übergang zu den konjugiert-komplexen Matrixelementen. Diese Bedingung ist notwendig, weil $\vec{\sigma}$ in (1) bis auf eine Konstante das magnetische Moment und damit eine beobachtbare Größe repräsentiert, deren Erwartungswerte reell sein müssen.

Da der Spinvektor \vec{s} eine Drehimpulsgröße repräsentiert, müssen zwischen seinen Komponenten die **Vertauschungsrelationen** (453.5) gelten. Wegen (1) folgt daraus für die Komponenten von $\vec{\sigma}$ die Gültigkeit der Vertauschungsrelationen

$$[\sigma_x, \sigma_y] = \sigma_x \sigma_y - \sigma_y \sigma_x = 2i \sigma_z. \quad (4)$$

Wegen (2) und (4) müssen die Komponenten von $\vec{\sigma}$ „antivertauschbar“ sein:

$$\begin{aligned} [\sigma_x, \sigma_y]_+ &= \sigma_x \sigma_y + \sigma_y \sigma_x = \sigma_x \frac{1}{2i} (\sigma_z \sigma_x - \sigma_x \sigma_z) + \frac{1}{2i} (\sigma_z \sigma_x - \sigma_x \sigma_z) \sigma_x \\ &= -\frac{1}{2i} (\sigma_x^2 \sigma_z - \sigma_z \sigma_x^2) = -\frac{1}{2i} (\sigma_z - \sigma_z) = 0. \end{aligned} \quad (5)$$

Bei Addition von (4) und (5) ergeben sich für die σ -Matrizen zusammenfassend die etwas einfacheren Eigenschaften

$$\boxed{\sigma_x \sigma_y = -\sigma_y \sigma_x = i \sigma_z \quad \sigma_x^2 = 1 \quad \sigma_y^2 = 1 \quad \sigma_z^2 = 1 \quad \sigma_x = \sigma_x^*} \quad (6)$$

sowie entsprechende Gleichungen, bei denen x , y und z zyklisch vertauscht sind.

Grundsätzlich können für die Beschreibung des Spins Matrizen mit beliebigen Komponenten gewählt werden, wenn sie nur die Bedingungen (6) erfüllen. Erst die Forderung, daß ψ_+ und ψ_- , wie in (453.13) dargestellt, Eigenfunktionen der z -Komponente des Spins werden sollen, legt für die Matrix σ_z eine spezielle **Komponentendarstellung**, nämlich (453.15) fest. Die zu dieser Komponentendarstellung gehörigen Matrizen σ_x und σ_y sollen berechnet werden.

Zunächst wird für σ_x der Ansatz

$$\sigma_x = \begin{pmatrix} a & b \\ c & d \end{pmatrix} \quad (7)$$